

# Molekulová mechanika

Martin Novák, Jan Novotný

NCBR

4. listopadu 2015

- 1 Molekulové modelování je založeno na kvantové nebo klasické fyzice?
- 2 Jaký je rozdíl mezi experimentem *in vitro* a *in silico*? Jmenujte přednosti a nedostatky jednotlivých přístupů.
- 3 Lze pomocí MM simulovat vznik a zánik kovalentních vazeb?
- 4 Lze pomocí MM simulovat denaturaci terciární struktury proteinů?
- 5 Působí na jádra molekuly síly, je-li molekula v lokálním minimu/v sedlovém bodě PES?
- 6 Z jakých částí se skládá Hamiltonián v QM a MM?

- 1 Molekulové modelování je založeno na kvantové nebo klasické fyzice?
- 2 Jaký je rozdíl mezi experimentem *in vitro* a *in silico*? Jmenujte přednosti a nedostatky jednotlivých přístupů.
- 3 Lze pomocí MM simulovat vznik a zánik kovalentních vazeb?
- 4 Lze pomocí MM simulovat denaturaci terciární struktury proteinů?
- 5 Působí na jádra molekuly síly, je-li molekula v lokálním minimu/v sedlovém bodě PES?
- 6 Z jakých částí se skládá Hamiltonián v QM a MM?

- 1 Molekulové modelování je založeno na kvantové nebo klasické fyzice?
- 2 Jaký je rozdíl mezi experimentem *in vitro* a *in silico*? Jmenujte přednosti a nedostatky jednotlivých přístupů.
- 3 Lze pomocí MM simulovat vznik a zánik kovalentních vazeb?
- 4 Lze pomocí MM simulovat denaturaci terciární struktury proteinů?
- 5 Působí na jádra molekuly síly, je-li molekula v lokálním minimu/v sedlovém bodě PES?
- 6 Z jakých částí se skládá Hamiltonián v QM a MM?

- 1 Molekulové modelování je založeno na kvantové nebo klasické fyzice?
- 2 Jaký je rozdíl mezi experimentem *in vitro* a *in silico*? Jmenujte přednosti a nedostatky jednotlivých přístupů.
- 3 Lze pomocí MM simulovat vznik a zánik kovalentních vazeb?
- 4 Lze pomocí MM simulovat denaturaci terciární struktury proteinů?
- 5 Působí na jádra molekuly síly, je-li molekula v lokálním minimu/v sedlovém bodě PES?
- 6 Z jakých částí se skládá Hamiltonián v QM a MM?

- 1 Molekulové modelování je založeno na kvantové nebo klasické fyzice?
- 2 Jaký je rozdíl mezi experimentem *in vitro* a *in silico*? Jmenujte přednosti a nedostatky jednotlivých přístupů.
- 3 Lze pomocí MM simulovat vznik a zánik kovalentních vazeb?
- 4 Lze pomocí MM simulovat denaturaci terciární struktury proteinů?
- 5 Působí na jádra molekuly síly, je-li molekula v lokálním minimu/v sedlovém bodě PES?
- 6 Z jakých částí se skládá Hamiltonián v QM a MM?

- 1 Molekulové modelování je založeno na kvantové nebo klasické fyzice?
- 2 Jaký je rozdíl mezi experimentem *in vitro* a *in silico*? Jmenujte přednosti a nedostatky jednotlivých přístupů.
- 3 Lze pomocí MM simulovat vznik a zánik kovalentních vazeb?
- 4 Lze pomocí MM simulovat denaturaci terciární struktury proteinů?
- 5 Působí na jádra molekuly síly, je-li molekula v lokálním minimu/v sedlovém bodě PES?
- 6 Z jakých částí se skládá Hamiltonián v QM a MM?

# Úloha 1: Lennard-Jonesův potenciál

- Vypočtete interakční energii a sílu působící mezi dvěma atomy argonu, jejichž vzdálenost je 400 pm. Použijte Lennard-Jonesův potenciál:

$$V = \epsilon \left[ \left( \frac{r_e}{r} \right)^{12} - 2 \left( \frac{r_e}{r} \right)^6 \right] \quad (1)$$



# Úloha 1: Lennard-Jonesův potenciál

- Vypočtete interakční energii a sílu působící mezi dvěma atomy argonu, jejichž vzdálenost je 400 pm. Použijte Lennard-Jonesův potenciál:

$$V = \epsilon \left[ \left( \frac{r_e}{r} \right)^{12} - 2 \left( \frac{r_e}{r} \right)^6 \right] \quad (1)$$

- kde:
  - $V$  je hodnota potenciálu
  - $\epsilon$  je hloubka potenciálové jámy
  - $r_e$  je rovnovážná vzdálenost
  - $r$  je aktuální vzdálenost
- Použijte hodnoty  $r_e = 3,4 \text{ \AA}$  a  $\epsilon = 1,0 \text{ kJ mol}^{-1}$

# Úloha 1: Řešení

- Dosazením hodnot do Rovnice (1) dostaneme hodnotu potenciálu rovnou  $-0,61 \text{ kJ mol}^{-1}$
- Sílu působící na atomy spočítáme jako derivaci potenciálu:

$$F = \frac{\partial V}{\partial r} = \epsilon \left[ -12r_e^{12} \left( \frac{1}{r} \right)^{13} + 12r_e^6 \left( \frac{1}{r} \right)^7 \right] \quad (2)$$

- Dosazením hodnot získáme sílu  $0,70 \text{ kJ mol}^{-1} \text{ \AA}^{-1}$

## Úloha 2: Modelové potenciály

- Jak se bude lišit potenciál vypočtený pomocí Morseho, Lennard-Jonesovy a harmonické aproximace pro dva atomy při vzdálenostech:

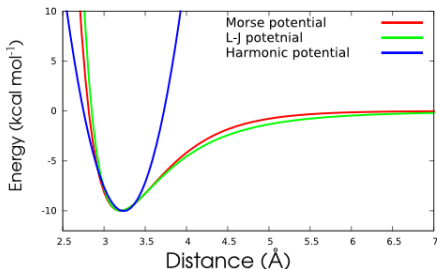
- $r = r_e$ ;  $r = r_e + 0,4 \text{ \AA}$ ;  $r = r_e - 0,4 \text{ \AA}$

- Použijte tyto definice křivek:

- $V_{Morse} = 10[1 - e^{-1,8(r-3,2)}]^2 - 10$

- $V_{L-J} = 10 \left[ \left( \frac{3,2}{r} \right)^{12} - 2 \left( \frac{3,2}{r} \right)^6 \right]$

- $V_{Harm} = 42,18r^2 - 273,25r + 432,51$



## Úloha 2: Řešení

	$r = r_e$	$r = r_e + 0,4 \text{ \AA}$	$r = r_e - 0,4 \text{ \AA}$
Morse	-10,0	-7,4	1,1
L-J	-10,0	-7,4	5,1
Harmonický	-10,0	-4,5	-1,9

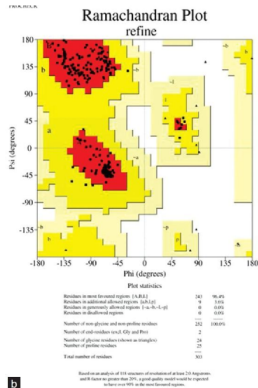
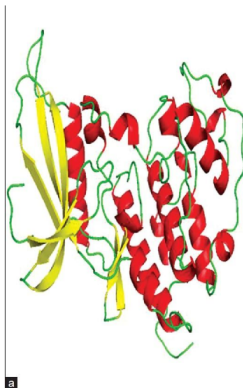
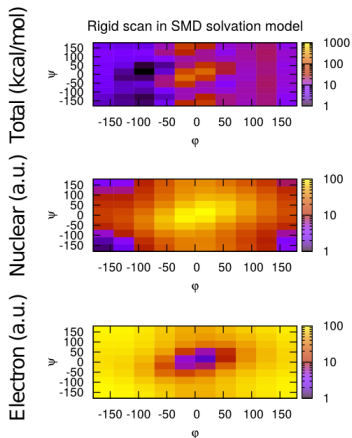
- Jaké jsou výhody a nevýhody jednotlivých potenciálů?

## Úloha 3: Ramachandranův graf

- Co znázorňuje Ramachandranův graf a proč se využívá?
- Srovnajte data spočtená pro tripeptid a experimentální data pro CDK4
- Je možné najít některá rezidua v „zakázané“ části grafu?
- Roznodněte, zda-li sterické kolize atomů má na svědomí elektronový nebo jaderný příspěvek.

# Ramachandranovy grafy:

Ramachandran plots for Gly-Ala-Gly tripeptide



# Úloha 3: Řešení

- Ramachandranův graf znázorňuje pozici jednotlivých aminokyselin v závislosti na torzních úhlech  $\varphi$  a  $\psi$
- Určité pozice v grafu jsou vyhrazeny pro aminokyseliny v alfa šroubovici, jiné pro beta listy
- Některé pozice jsou tzv „zakázány“ z hlediska sterických kolizí mezi atomy.
- Data vypočtená pro tripeptid ukazují zakázanou oblast kolem nulové hodnoty úhlu  $\varphi$ . V této oblasti nenajdeme takřka žádná rezidua v proteinu CDK4. Naopak pro záporné hodnoty úhlu  $\varphi$  (gauche<sup>-</sup>) máme nejvíce aminokyselin - alfa šroubovice a beta listy.
- V zakázané oblasti můžeme najít rezidua v enzymech, kde se podílejí na chemických reakcích nebo ta, kolem nichž můžeme pozorovat velké strukturní změny.
- Za sterické kolize mezi atomy je odpovědný jaderný příspěvek k celkové energii. Elektronový příspěvek naopak částečně kompenzuje jadernou penalizaci.

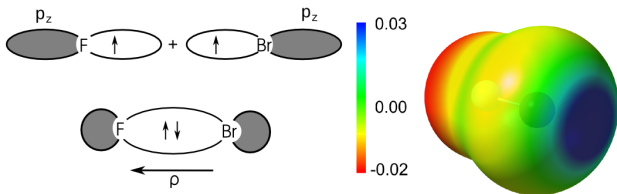
## Úloha 4: Halogenová vazba

- Halogenová vazba je stabilizující interakce mezi halogenem a částí molekuly s vysokou elektronovou hustotou. Podmínkou vzniku je, že halogen musí být navázán na elektronakceptorní skupinu.
- Pokuste se pomocí jednoduchých orbitálních interakcí v molekule BrF popsat, proč je tato zdánlivě neočekávaná interakce pozorována v mnoha experimentálních i teoretických strukturách.



# Úloha 4: Řešení

- Atom halogenu má základní elektronovou konfiguraci  $s^2 p_x^2 p_y^2 p_z^1$
- Při tvorbě sigma vazby se nejvíce projeví překryv orbitalů  $p_z$
- Je-li tato vazba dostatečně polarizována, vznikne na vnějším povrchu halogenu pozitivní elektrostatický potenciál, tzv.  $\sigma$ -díra.
- Velikost závisí na rozdílu elektronegativity mezi halogenem a substituentem a na schopnosti substituentu akumulovat elektronovou hustotu.



- Který z halogenů bude potenciálně nejlepší donor halogenové vazby?
- Jaká bude nejvýhodnější orientace mezi donorem a akceptorem halogenové vazby?

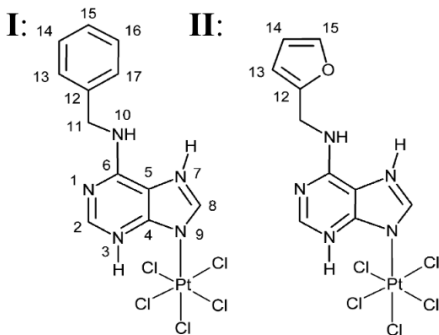
# Úloha 5: Protonační rovnováhy adeninových derivátů<sup>1</sup>

- Nakreslete dvě chemikálie, které byly použity v této studii:
  - 1 9-[6-(benzylamino)]purin-pentachloroplaticitan
  - 2 9-[6-(furfurylamino)]purin-pentachloroplaticitan
- Jake mohou mít tautomerní formy a jaký je jejich náboj?

<sup>1</sup>Vícha, J et al *Inorg. Chem.*, **2012**, *51*, 1371-1379

# Úloha 5: Protonační rovnováhy adeninových derivátů<sup>1</sup>

- Nakreslete dvě chemikálie, které byly použity v této studii:
  - 1 9-[6-(benzylamino)]purin-pentachloroplatičitan
  - 2 9-[6-(furfurylamino)]purin-pentachloroplatičitan
- Jake mohou mít tautomerní formy a jaký je jejich náboj?



<sup>1</sup>Vícha, J et al *Inorg. Chem.*, **2012**, *51*, 1371-1379

## Úloha 5: Protonační stav

- Z NMR experimentů pro **II** v DMF- $d_7$  plyne následující:
  - N1 je deprotonován
  - N3 je protonován
  - N7 je částečně protonován
- Teoretický výpočet říká, že sloučenina **II** protonovaná na N7 by měla mít chemický posun  $\delta = 155,7$  ppm a struktura bez protonu by měla mít  $\delta = 247,7$  ppm
- Experimentální hodnota N7 byla  $\delta = 211,2$  ppm. Okyselením vzorku pomocí HCl klesla hodnota  $\delta$  na 185,3 ppm
- Vypočtete rovnovážné zastoupení obou forem sloučeniny **II** před a po okyselení vzorku

## Úloha 5: Řešení

- Protonace/deprotonace je rychlý proces na NMR časové škále
- Výsledný chemický posun je váženým průměrem obou extrémních případů
- Je potřeba určit rovnici přímky procházející body [0; 247,7] a [100; 155,1]:

$$\delta(\text{ppm}) = -0,926p(N7H) + 247,7 \quad (3)$$

- Dosazením experimentálně naměřených hodnot do této rovnice dosáhneme zastoupení protonované formy 39% respektive 67% před a po okyselení vzorku

Proteinové inženýrství